

# بررسی حذف فلوراید از آب آشامیدنی با بوکسیت معدن مندون: مطالعه موردی آب منطقه کوهبنان

محمد ملکوتیان<sup>۱</sup>, مرضیه جاودان<sup>۲</sup>, فرناز ایرانمنش<sup>۳</sup>

## مقاله پژوهشی

### چکیده

**مقدمه:** غلظت فلوراید آب آشامیدنی یکی از شاخص‌های مؤثر در سلامت انسان است. بنابراین، یافته راهی برای حذف فلوراید بیش از مقدار استاندارد، از اهداف مهم در پروژه‌های تأمین آب می‌باشد. این مطالعه با هدف، بررسی کارایی بوکسیت معدن مندون در حذف فلوراید آب آشامیدنی انجام گرفت.

**روش‌ها:** مطالعه حاضر از نوع تجربی بود که از اردیبهشت تا آبان سال ۱۳۹۲ بر روی نمونه‌های سنتیک واقعی آب منطقه کوهبنان در مرکز تحقیقات بهداشت محیط دانشگاه علوم پزشکی کرمان انجام شد. بوکسیت از معدن مندون استان کهگیلویه و بویراحمد تهیه گردید و تجزیه و تحلیل آن به روش طیف‌سنجی فلورسانس اشعه ایکس و طیف‌سنجی تفرق اشعه ایکس انجام گرفت. تأثیر پارامترهای pH، زمان تماس، مقدار جاذب و غلظت‌های مختلف فلوراید بر روی حذف، با استفاده از محلول‌های سنتیک بررسی گردید و شرایط بهینه روی نمونه واقعی انجام شد. به منظور درک بهتر فرایند جذب، سنتیک و ایزوترم جذب نیز مورد بررسی قرار گرفت. میزان فلوراید به روش اسپادنس تعیین و در نهایت، داده‌ها در نرم‌افزار Excel تجزیه و تحلیل شد.

**یافته‌ها:** حداقل راندمان حذف نمونه سنتیک در  $pH = 7$  ۱۲۰ دقیقه توسط محلول ۲۰ گرم بوکسیت در لیتر، به میزان  $76/96$  درصد به دست آمد. راندمان حذف در نمونه واقعی و در شرایط بهینه،  $56/64$  درصد بود. یافته‌ها نشان داد که جذب فلوراید، از ایزوترم Langmuir با ضریب همبستگی  $0/719$  و سنتیک واکنش درجه دوم با ضریب همبستگی  $0/989$  پیروی نمود.

**نتیجه‌گیری:** بوکسیت مندون بدون نیاز به آماده‌سازی اولیه جهت حذف فلوراید از آب‌های آشامیدنی، دارای راندمان جذب قابل قبولی می‌باشد.

**واژه‌های کلیدی:** ایزوترم جذب، سنتیک جذب، حذف فلوراید، بوکسیت مندون

**ارجاع:** ملکوتیان محمد، جاودان مرضیه، ایرانمنش فرناز. بررسی حذف فلوراید از آب آشامیدنی توسط بوکسیت معدن مندون: مطالعه موردی آب منطقه کوهبنان. مجله تحقیقات نظام سلامت ۱۳۹۵، ۱۲(۱): ۱۴-۲۰.

پذیرش مقاله: ۱۳۹۴/۷/۲۲

دریافت مقاله: ۱۳۹۳/۴/۱۸

### مقدمه

فلوراید یک عنصر ضروری برای جلوگیری از آسیب‌های دندان و فاکتور مؤثر معدنی‌سازی بافت‌های سخت استخوان‌ها است (۱، ۲). آب آشامیدنی منبع اصلی دریافت فلوراید در اکثر جوامع می‌باشد. طبق رهنمود سازمان جهانی بهداشت (WHO) World Health Organization یا (۳) حداقل غلظت قابل قبول فلوراید در آب آشامیدنی  $1/2$  میلی‌گرم بر لیتر به ترتیب برای آب و هوای گرم و سرد می‌باشد. این اختلاف به دلیل مصرف آب بیشتر در آب و هوای گرم است (۴). حفظ غلظت فلوراید حدود  $1$  میلی‌گرم بر لیتر از مشکلات استخوانی و دندانی به ویژه در کودکان جلوگیری می‌کند (۵، ۶). در مقابل، دریافت مازاد باعث نگرانی جدی از نظر بهداشت عمومی می‌گردد (۶). دریافت مازاد و موججه طولانی مدت باعث آسیب‌های جدی از جمله بیماری‌های استخوانی (فلوروزیس)، خالدار شدن و لق شدن دندان‌ها، سرطان، ناباروری، آسیب‌های مغزی، آذایم و اختلالات تیروئید می‌شود (۷-۱۰). فلوروزیس از مهم‌ترین مسائل بهداشت عمومی در سراسر جهان است. بنابراین، یافته راهی

برای حذف فلوراید بیش از مقدار استاندارد از آب آشامیدنی، از اهداف مهم در پروژه‌های تأمین آب بوده است (۱۰).

روش‌هایی از جمله انقاد و ترسیب شیمیایی، جذب سطحی، فرایندی‌های غشایی و الکتروشیمیایی و تبادل یون جهت حذف مازاد فلوراید از آب به کار رفته است (۱۱). بسیاری از این روش‌ها به دلیل هزینه بالا و پیچیدگی کاربرد، قابل استفاده در کشورهای در حال توسعه و نواحی کم درآمد نمی‌باشد (۸). بنابراین، تمايل فرایندی‌های به سمت استفاده از مواد بومی و روش‌های ارزان قیمت برای حذف فلوراید از آب در کشورهای در حال توسعه وجود دارد (۱۲). از بین روش‌هایی گوناگون، جذب به عنوان یک روش مقرون به صرفه و متناول جهت حذف فلوراید از محیط‌های آبی در این کشورها، مورد توجه قرار گرفته است (۱۳). در مطالعات زیادی از بوکسیت در حذف آلینده‌های آب به ویژه فلوراید استفاده شده است (۱۴-۱۷). تاکنون کارایی سنگ معدن بوکسیت مندون در حذف فلوراید مورد بررسی قرار نگرفته است. هدف از مطالعه حاضر، بررسی کارایی سنگ معدن بوکسیت مندون در استان کهگیلویه و بویراحمد در حذف

- ۱- استاد، مرکز تحقیقات مهندسی بهداشت محیط و گروه بهداشت محیط، دانشگاه علوم پزشکی کرمان، کرمان، ایران
- ۲- دانشجوی کارشناسی ارشد، مرکز تحقیقات مهندسی بهداشت محیط، دانشگاه علوم پزشکی کرمان، کرمان، ایران
- ۳- مرکز تحقیقات مهندسی بهداشت محیط، دانشگاه علوم پزشکی کرمان، کرمان، ایران

نویسنده مسؤول: مرضیه جاودان

Email: m.javidan90@gmail.com

فلوراید از محلول‌های آبی بود.

## یافته‌ها

### کیفیت شیمیایی نمونه آب منطقه کوهینان

نتایج حاصل از دما، pH و پارامترهای شیمیایی نمونه آب منطقه کوهینان در جدول ۱ ارایه شده است.

### مشخصات بوکسیت

XRF نتایج آنالیز شیمیایی سنگ معدن بوکسیت مندون (سرفاریاب) با روش (درصد عناصر تشکیل دهنده) در جدول ۲ و نتایج آنالیز XRD (شناسایی کانی‌های موجود) در شکل ۱ نشان داده است.

جدول ۱. کیفیت شیمیایی نمونه آب منطقه کوهینان

پارامتر	واحد اندازه‌گیری	مقادیر
pH	-	۶/۹۰-۷/۶۶
دما	درجه سانتی‌گراد(°C)	۲۵-۲۷
سولفات (SO <sub>4</sub> <sup>2-</sup> )	mg/l	۱۳۹/۰
کلرور (Cl <sup>-</sup> )	mg/l	۱۲۶/۰
کل جامدات (Total solids) (TS) یا	mg/l	۷۱۱/۰
نیترات (NO <sub>3</sub> <sup>-</sup> )	mg/l	۵/۶
کلسیم	mg/l	۸۳/۰
پاتاسیم	mg/l	۱/۹
منیزیم	mg/l	۴۹/۰
سدیم	mg/l	۹۵/۰
کل جامدات محلول	mg/l	۶۵۶/۰
کل باقی‌مانده	mg/l	۰/۵
فلوراید (F <sup>-</sup> )	mg/l	۲/۳-۲/۷
آهن (Fe)	mg/l	< ۰/۰۵
آلومینیوم (Al)	mg/l	< ۰/۰۱

جدول ۲. درصد اکسیدهای فلزی اندازه‌گیری شده در سنگ معدن (X-Ray fraction) XRF بوکسیت مندون به روش

درصد	ترکیب شیمیایی
۵۳/۴۴	Al <sub>۲</sub> O <sub>۳</sub>
۱۲/۴۳	SiO <sub>۲</sub>
۲/۴۸	TiO <sub>۲</sub>
۱۹/۵۱	Fe <sub>۲</sub> O <sub>۳</sub>
۰/۲۹	CaO
۰/۱۷	MgO
۰/۰۵	K <sub>۲</sub> O
۰/۰۶	P <sub>۲</sub> O <sub>۵</sub>

### انرژی زمان تماش

نتایج حاصل از تأثیر زمان تماش روی خلقویت جذب فلوراید توسط بوکسیت مندون در غلظت‌های مختلف فلوراید (۰، ۰/۴، ۰/۶ میلی‌گرم بر لیتر) در شکل ۲ ارایه شده است.

## روش‌ها

مطالعه حاضر یک مطالعه تجربی بود که در بازه زمانی اردیبهشت تا آبان سال ۱۳۹۲ روی نمونه‌های سنتیک و نمونه واقعی در مرکز تحقیقات مهندسی بهداشت محیط دانشگاه علوم پزشکی کرمان انجام شد. نمونه واقعی از آب آشامیدنی منطقه کوهینان واقع در شمال غربی استان کرمان انتخاب شد. بر اساس مطالعات انجام شده قبلی، غلظت فلوراید در منابع آبی این منطقه در محدوده ۰/۳-۰/۵ میلی‌گرم در لیتر بوده است (۱۸). کیفیت شیمیایی نمونه آب واقعی در ابتداء تعیین شد. جاذب از معدن بوکسیت مندون (سرفاریاب) واقع در ۴۰ کیلومتری شهرستان دهدشت در استان کهگیلویه و بویراحمد تهیه گردید. سنگ معدن بوکسیت مندون ابتدا آسیاب و بالا کش ۶۰ گربال شد و پودری با اندازه ذرات کمتر از ۲۵۰ میکرومتر تهیه گردید. پودر بوکسیت با آب دیونیزه شستشو و سپس، در کوره با دمای ۲۰۰ درجه سانتی‌گراد به مدت ۲ ساعت خشک گردید و در دمای اتاق سرد شد. جهت تعیین آنالیز شیمیایی و تعیین فاصله‌ای موجود در نمونه‌های پودر بوکسیت از روش طیفسنجی فلورسانس اشعه ایکس (XRF) و روش طیفسنجی تفرق اشعه ایکس (X-Ray diffraction) XRD استفاده شد.

محول استوک فلوراید (۱۰۰ میلی‌گرم در لیتر)، با حل کردن ۰/۲۲۱ گرم نمک فلوراید سدیم ساخت شرکت مرک در ۱ لیتر آب دیونیزه تهیه گردید. کلیه آزمایش‌ها در محیط ناپیوسته با در تماس قرار دادن و هم زدن (۳۰۰ دور در دقیقه) محلول فلوراید با بوکسیت مندون در زمان‌های مشخص انجام گرفت. آنالیز فلوراید طبق روش اسپادنس (SPADNS) و با استفاده از دستگاه اسپکتروفوتومتر در طول موج ۵۷۰ نانومتر اندازه‌گیری شد.

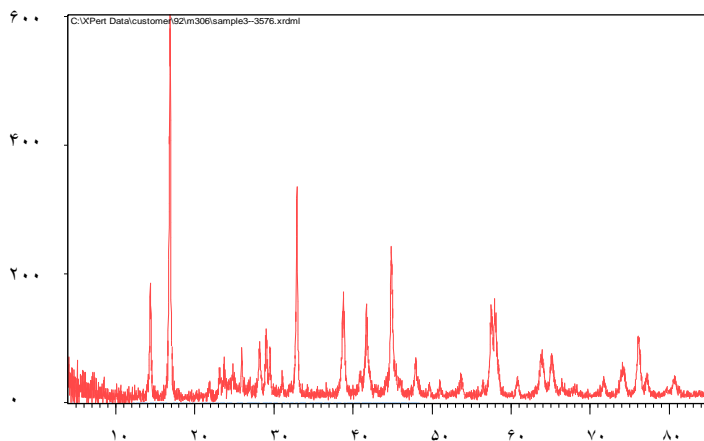
راندمان حذف فلوراید (E%) و خلقویت جذب فلوراید (q<sub>e</sub>) از معادله ۱ و محاسبه شد:

$$\%E = \frac{C_i - C_e}{C_i} * 100 \quad (1)$$

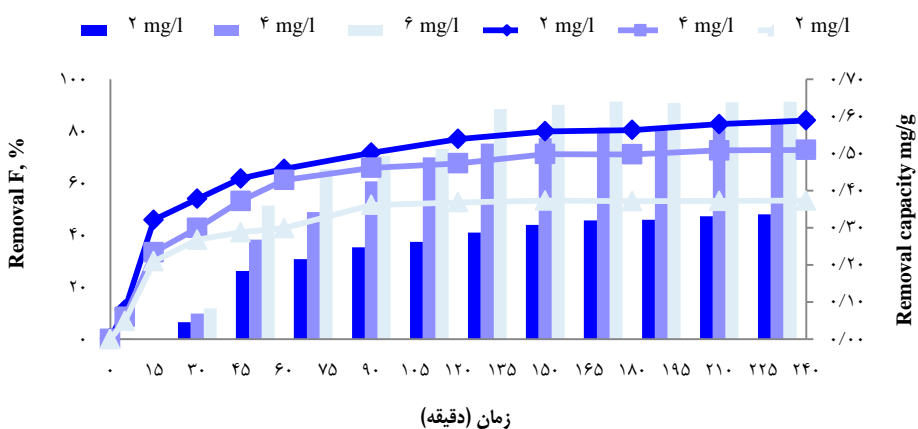
$$q_e = \frac{(C_i - C_e)V}{m} \quad (2)$$

q<sub>e</sub> میلی‌گرم به ازای گرم جاذب، C<sub>i</sub> غلظت اولیه فلوراید بر حسب میلی‌گرم بر لیتر، C<sub>e</sub> غلظت باقی‌مانده در زمان تعادل بر حسب میلی‌گرم بر لیتر، V حجم محلول بر حسب لیتر و m دوز جاذب بر حسب گرم است.

کلیه آزمایش‌ها بر اساس روش‌های مندرج در کتاب روش‌های استاندارد آزمایش‌های آب و فاضلاب ویرايش بیست انجام گرفت (۱۹). آزمایش‌های جذب برای تعیین زمان تعادل و سیستیک‌های جذب، شرایط بهینه pH، زمان تماس، غلظت فلوراید و مقدار جاذب (pH211. HANNA., Italy) و مطالعه مدل ایزوترم جذب انجام شد. آزمایش‌ها با نمونه واقعی در شرایط بهینه نیز انجام شد و میانگین نتایج ارایه گردید. آزمایش‌ها در هر مرحله دو بار انجام شد و میانگین نتایج ارایه گردید. به منظور تعیین pH، از محلول‌های ۰/۰ ننمال اسید سولفوریک و هیدروکسید سدیم استفاده شد. اندازه‌گیری‌های pH توسط pH متر دیجیتالی مدل ۲۱۱ (Freundlich و Langmuir) مورد بررسی قرار گرفت. تجزیه و تحلیل داده‌ها در نرم‌افزار Excel انجام شد.

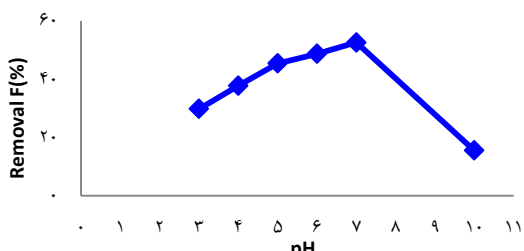


شکل ۱. طیف X-Ray diffraction (XRD) حاصل از سنگ معدن بوکسیت مندون



شکل ۲. اثر زمان تماس روی ظرفیت جذب فلوراید (5g بوكسیت، pH = ۷، غلظت فلوراید ۲، ۴، ۶ mg/l و ۲، ۴، ۶ mg/l)

می‌کند. نتایج حاصل از بررسی سیتیک درجه اول و دوم برای غلظت‌های اولیه فلوراید ۲، ۴ و ۶ mg/l در جدول ۳ ذکر شده است. ایزوترم جذب Langmuir با ضریب همبستگی  $R^2 = 0.719$  نتایج بهتری را نسبت به ایزوترم جذب Freundlich نشان داده است. پارامترهای حاصل از مدل‌های ایزوترم جذب توسط بوکسیت مندون در جدول ۳ آمده است.



شکل ۳. اثر pH روی راندمان حذف فلوراید (مقدار بوکسیت ۵ g، غلظت اولیه فلوراید ۲ mg/l)

شکل ۳ نتایج حاصل از تأثیر pH روی راندمان حذف فلوراید توسط بوکسیت مندون را نشان می‌دهد. وقتی pH از ۳ به ۷ افزایش پیدا کرده، راندمان حذف فلوراید از ۲۲/۷۷ درصد به ۵۲/۶۰ درصد افزایش یافت و حداقل جذب فلوراید در pH = ۷ به دست آمد.

#### اثر غلظت اولیه فلوراید و مقدار جاذب روی حذف فلوراید

شکل ۴ و ۵ اثر غلظت‌های مختلف فلوراید و مقادیر مختلف جاذب روی جذب فلوراید توسط بوکسیت را نشان می‌دهند. با کاهش غلظت فلوراید از ۶ به ۰ میلی‌گرم بر لیتر با ۵ گرم در لیتر بوكسیت، راندمان حذف فلوراید از ۵۲/۶۰ به ۸۲/۹۵ درصد افزایش پیدا کرد. همچنین، با افزایش مقدار جاذب از ۲ به ۲۰ گرم بر لیتر، راندمان حذف فلوراید از ۲۳/۲۳ به ۷۵/۹۸ درصد افزایش پیدا کرد و با افزایش بیشتر مقدار جاذب راندمان حذف افزایش قابل توجهی نداشت.

#### مطالعات سیتیک جذب سطحی و ایزوترم جذب

فرایید جذب از سیتیک درجه دوم با ضریب همبستگی ( $R^2 = 0.989$ ) تعیین

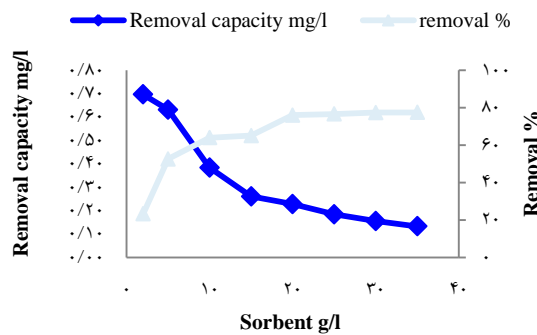
### مطالعه حذف فلوراید برای نمونه واقعی آب (آب منطقه کوهبنان)

راندمان حذف فلوراید در شرایط بهینه برای نمونه واقعی آب منطقه کوهبنان  
۵۶/۶۴ درصد گزارش شد.

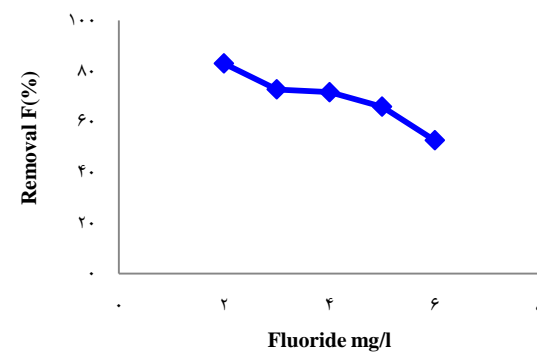
#### بحث

طبق نتایج آنالیز XRF، اکسیدهای آلومنیوم و سیلیسیم، تیتانیم و آهن چهار عنصر اصلی هستند که ۸۸/۰۶ درصد ترکیبات شیمیایی سنگ معدن بوکسیت مندون (سرفاریاب) را تشکیل می‌دهند. Ayoob و همکاران در هند (۲۰) و ملکوتیان و همکاران در ایران (۲۱، ۲۲) از بوکسیت برای حذف فلوراید استفاده نمودند، نتایج آنالیز XRF سنگ معدن بوکسیت مندون با نتایج XRF مطالعات آن‌ها مشابه است، ولی درصد ترکیبات عناصر اصلی بوکسیت در مطالعات با هم تفاوت دارد. نتایج XRD پیانگر این است که بوهیمت، هماتیت و کاتولینیت کانهای اصلی دیاسپور، آناناز، کلریت و کوارتز کانهای فرعی سنگ معدن بوکسیت مندون می‌باشند.

نتایج حاصل از تأثیر زمان تماس روی ظرفیت جذب فلوراید توسط بوکسیت مندون نشان داد در یک مقدار ثابت بوکسیت (۵ g/l) و غلظت اولیه فلوراید ۶ میلی‌گرم در لیتر، با گذشت زمان تماس از ۵ به ۱۲۰ دقیقه، راندمان حذف فلوراید از ۶/۹۱ درصد به ۵۲/۶۰ درصد افزایش یافته است و بعد از زمان تعادل ۱۲۰ دقیقه راندمان حذف افزایش چشمگیری ندارد. همچنین، در همه نمونه‌ها زمان تعادل مستقل از غلظت اولیه فلوراید است. وقتی غلظت از ۲ به ۶ میلی‌گرم در لیتر افزایش یافت، راندمان از ۷۶/۹۶ درصد به ۵۲/۰ درصد کاهش می‌یابد. ملکوتیان و همکاران در زمان ۱۸۰ دقیقه، حداقل راندمان حذف فلوراید از آب توسط بوکسیت خام را به دست آوردند. بالاترین درصد حذف در طول زمان تماس‌های اولیه به دست آمد و با افزایش زمان تماس، افزایش قابل توجهی نداشت؛ چرا که در ابتدا همه جایگاه‌های جذب خالی بوده، یون‌های آزاد فلوراید فراوان در دسترس بوده است (۲۳). این نتایج با نتایج مطالعه حاضر مطابقت دارد.



شکل ۴. اثر غلظت‌های اولیه فلوراید (۴، ۵، ۶ mg/l) روی راندمان حذف فلوراید (۷) pH = ۷، زمان تماس ۱۲۰ دقیقه، دوز بوکسیت (۵ g/l)



شکل ۵. اثر مقادیر مختلف بوکسیت روی راندمان و ظرفیت جذب فلوراید (۷) pH = ۷، غلظت اولیه / mg/l، زمان تماس ۱۲۰ دقیقه

جدول ۲. نتایج حاصل از بررسی سینتیک و مدل‌های ایزوترم جذب توسط بوکسیت مندون

سینتیک جذب	پارامتر	غلظت فلوراید (mg/l)	غلظت
سینتیک درجه اول	$k_1$	۶	۲
$q_e$	$q_e$	۰/۰۳۴	۰/۰۲۷
$R^*$	$R^*$	۰/۸۱۰	۰/۷۶۲
سینتیک درجه دوم	$k_2$	۰/۹۴۰	۰/۹۸۸
$q_e$	$q_m$	۰/۱۵۶	۰/۱۱۶
Langmuir	$k_L$	۰/۶۶۷	۰/۶۱۳
Freundlich	$R^*$	۰/۹۸۹	۰/۹۸۸
پارامتر			
$q_m$			
$N$			
$2/518$			
$k_F$			
$0/862$			
$2/265$			

ظرفیت جذب فلوراید:  $K_1$ : ثابت سرعت در واکنش‌های درجه اول؛  $K_2$ : ثابت سرعت در واکنش‌های درجه دوم؛  $R^*$ : ضریب همبستگی،  $q_e$ : ثابت ایزوترم Langmuir،  $q_m$ : ثابت ایزوترم Freundlich؛  $k_F$ : حداقل ظرفیت جذب؛  $N$ : شدت جذب

غاظت فلوراید در نمونه واقعی آب منطقه کوهبنان بدون تعییر در کیفیت شیمیایی آب و شرایط بهینه زمان تماس ۱۲۰ دقیقه و مقدار بوکسیت ۲۰ گرم در لیتر، از ۲/۷۳ میلی گرم در لیتر به ۱/۱۴ میلی گرم در لیتر کاهش یافت (راندمان حذف فلوراید ۵۶/۶۴ درصد) که در مقایسه با نمونه های سنتیک راندمان حذف کمتری دارد. Sujana و Anand از بوکسیت در حذف فلوراید از آب زیرزمینی استفاده نمودند و خصوصیات کلراید و سولفات را دلیل کاهش راندمان حذف فلوراید در نمونه آب زیرزمینی بیان کردند (۱۶).

### نتیجه‌گیری

به طور کلی، شرایط بهینه برای حذف فلوراید از محلول سنتیک در pH = ۷، مقدار جاذب ۲۰ گرم در لیتر و زمان تماس ۱۲۰ دقیقه است. با انجام شرایط بهینه روی نمونه واقعی آب منطقه کوهبنان، مقدار فلوراید به کمتر از ۱/۵ میلی گرم در لیتر (حد رهنمود سازمان بهداشت جهانی)، رسید. بوکسیت مندون در این مطالعه نشان داد می تواند به عنوان جاذب ارزان قیمت و مؤثر جهت حذف فلوراید از آب بدون آماده سازی اولیه به کار رود.

### پیشنهادها

پیشنهاد می شود در مطالعات آینده به ارزیابی احیای جاذب و بهینه کردن فرایند در مقیاس کاربردی پرداخته شود.

### تشکر و قدردانی

این مقاله حاصل بخشی از پایان نامه در مقطع کارشناسی ارشد بود که زیر نظر مرکز تحقیقات مهندسی بهداشت محیط دانشگاه علوم پزشکی کرمان و با حمایت مالی معاونت تحقیقات و فناوری این دانشگاه انجام یافت. بدین وسیله از مساعدت های آن هایی که هموار کننده انجام این پژوهش بوده اند، قدردانی می گردد.

هنگامی که pH از ۳ به ۷ در زمان تعادل ۱۲۰ دقیقه افزایش یافت، راندمان حذف از ۲۹/۷۷ درصد به ۵۲/۶۰ درصد افزایش یافت. این می تواند به دلیل تشکیل اسید ضعیف هیدروفلوئوریک (HF) باشد. سپس با افزایش pH به ۱۰ راندمان به ۱۵/۵۰ درصد کاهش یافت که به دلیل رقابت یون های هیدروکسید (OH<sup>-</sup>) و یون های فلوراید (F<sup>-</sup>) برای جایگاه های جذب روی بوکسیت است. ملکوتیان و همکاران از خصایع صنعت روغن (۲۴) و همچنین، در مطالعه های دیگر (۲۱) از بوکسیت در حذف فلوراید استفاده نمودند و بالاترین حذف را در pH خنثی یافتد (pH=۷) که با نتایج این مطالعه مطابقت دارد.

با افزایش مقدار جاذب از ۲۰ به ۲۰ گرم در لیتر در نمونه سنتیک، راندمان حذف از ۲۳/۲۳ درصد به ۷۵/۹۸ درصد افزایش یافت. با افزایش مقدار جاذب، یون های فلوراید جایگاه های فعل بیشتری در دسترس دارند، ولی در مقادیر بالاتر از ۲۰ گرم در لیتر راندمان حذف افزایش چشمگیری نداشت، چون در این مقدار فقط میزان محدودی از یون های فلوراید به صورت آزاد باقی مانده است. Sujana و همکاران (۲۵)، از مواد معدنی حاوی آهن در حذف فلوراید استفاده نمودند و نتایج مشابهی به دست آوردند.

طبق نتایج به دست آمده، سنتیک درجه دوم با ضریب همبستگی  $R^2 = ۰/۹۸۹$  (R<sup>2</sup>) نسبت به سنتیک درجه اول داده های مطالعه را بهتر توضیح می دهد. نتایج مطالعه Tor و همکاران (۲۶) که از گل قرمز، ملکوتیان و همکاران از بوکسیت (۲۳) و همچنین، در مطالعه های دیگر از خصایع صنعت روغن گیاهی در حذف فلوراید استفاده کردند (۲۴)، نتایج مشابهی را به همراه داشت.

مطالعه ایزوترم جذب، چگونگی فعل و انفعالات بین جاذب و جسم حل شونده را تشریح می کند. نتایج نشان داد حذف فلوراید تو سط بوکسیت مندون با ضریب همبستگی  $R^2 = ۰/۷۱۹$  (R<sup>2</sup>) از ایزوترم جذب Langmuir تبعیت می کند. این نتایج با مطالعه Sujana و Anand (۱۶) که از بوکسیت در حذف فلوراید استفاده نمودند، مطابقت دارد.

### References

- Mesdaghinia A, Vaghefi KA, Montazeri A, Mohebbi MR, Saeedi R. Monitoring of fluoride in groundwater resources of Iran. Bull Environ Contam Toxicol 2010; 84(4): 432-7. [In Persian].
- Gomoro K, Zewge F, Hundhammer B, Megersa N. Fluoride removal by adsorption on thermally treated lateritic soils. Bull Chem Soc Ethiop 2012; 26(3): 361-72.
- Lavecchia R, Medici F, Piga L, Rinaldi G, Zuorro A. Fluoride removal from water by adsorption on a high alumina content bauxite. Chem Eng Trans 2012; 26(225): 230.
- Bhatnagar A, Kumara E, Sillanpaa M. Fluoride removal from water by adsorption-A review. Chem Eng J 2011; 171(3): 811-40.
- Bernard T, Felix M, Masamba W. Effect of particle size on loading capacity and water quality in water defluoridation with 200°C calcined bauxite, gypsum, magnesite and their composite filter. Afr J Pure Appl Chem 2012; 6(2): 26-34.
- Nagendra Rao CR, Karthikeyan J. Removal of fluoride from water by adsorption onto lanthanum oxide. Water Air Soil Pollut 2016; 223(3): 1101-14.
- Mahvi A, Rahmani Boldaji M, Doubaradaran S. Evaluating the performance of Iron nano-particle resin in removing fluoride from water. Water and Wastewater 2011; 21(4): 33-7. [ In Persian].
- Doua X, Mohanb D, Pittman CU, Yanga S. Remediating fluoride from water using hydrous zirconium oxide. Chem Eng J 2012; 198-199: 236-45.
- Daifullah AA, Yakout SM, Elreefy SA. Adsorption of fluoride in aqueous solutions using KMnO<sub>4</sub>-modified activated carbon derived from steam pyrolysis of rice straw. J Hazard Mater 2007; 147(1-2): 633-43.
- Nie Y, Hu C, Kong C. Enhanced fluoride adsorption using Al (III) modified calcium hydroxyapatite. J Hazard Mater 2012; 233-234: 194-9.
- Kumar E, Bhatnagar A, Kumar U, Sillanpaa M. Defluoridation from aqueous solutions by nano-alumina: characterization and sorption studies. J Hazard Mater 2011; 186(2-3): 1042-9.

12. Chidambaram S, Ramanathan AL, Vasudevan S. Fluoride removal studies in water using natural materials: technical note. Water SA 2003; 29(3): 339-44.
13. Sajidu S, Kayira C, Masamba W, Mwatseteza J. Defluoridation of groundwater using raw bauxite: Rural Domestic Defluoridation Technology. Environment and Natural Resources Research 2012; 2(3): 1-9.
14. Altundogan HS, Tümen F. Removal of phosphates from aqueous solutions by using bauxite. I: Effect of pH on the adsorption of various phosphates. J Chem Technol Biotechnol 2002; 77(1): 77-85.
15. Erdema M, Altundogant HS, Tümenb F. Removal of hexavalent chromium by using heat-activated bauxite. Miner Eng 2004; 17(9-10): 1045-52.
16. Sujana MG, Anand S. Fluoride removal studies from contaminated ground water by using bauxite. Desalination 2011; 267(2-3): 222-7.
17. Pahlavanzadeh H, Zarenezhad Ashkzari H. Defluoridation of drinking water with fixed bed column using low cost natural adsorbent, bauxite. Iran J Chem Chem Eng 2013; 32(1): 17-24. [In Persian].
18. Sadeghkasmaei L, Gorgin N, Fekrikohbanani M. Survey the amount of fluoride in Kohbanan (Kerman, Iran) soil and water and them effect on dental health. Proceedings of the 1<sup>st</sup> International Conference on Water Crisis; 2009 Mar 10-12; Zabol, Iran. [In Persian].
19. American Public Health Association. Standard methods for the examination of water and wastewater. 20<sup>th</sup> ed. Washington, DC: American Public Health Association; 1999.
20. Ayoob S, Gupta AK, Bhakat PB. Analysis of breakthrough developments and modeling of fixed bed adsorption system for As(V) removal from water by modified calcined bauxite (MCB). Sep Purif Technol 2007; 52(3): 430-8.
21. Malakootian M, Javdan M, Iranmanesh F. Performance evaluation of bauxite activated mines in Yazd province in order to remove fluoride from drinking water (Case Study: Kuhbanan water). Journal of Community Health Research 2014; 3(2): 103-14. [In Persian].
22. Malakootian M, Javdan M, Iranmanesh F. Performance evaluation of Semnan active bauxite mine (TASH) in the removal of fluoride from drinking water: Case study on Kuhbonan water. Journal of Environmental Health Engineering 2014; 1(3): 236-46. [In Persian].
23. Malakootian M, Javdan M, Iranmanesh F. Fluoride removal study from aqueous solutions using Jajarm bauxite: Case study on Koohbanan water. Fluoride 2015; 48(2): 113-22. [In Persian].
24. Malakootian M, Fatehizadeh A, Yousefi N, Ahmadian M, Moosazadeh M. Fluoride removal using Regenerated Spent Bleaching Earth (RSBE) from groundwater: Case study on Kuhbonan water. Desalination 2011; 227(1-3): 244-9. [In Persian].
25. Sujana MG, Pradhan HK, Anand S. Studies on sorption of some geomaterials for fluoride removal from aqueous solutions. J Hazard Mater 2009; 161(1): 120-5.
26. Tor A, Danaoglu N, Arslan G, Cengeloglu Y. Removal of fluoride from water by using granular red mud: Batch and column studies. J Hazard Mater 2009; 164(1): 271-8.

## Performance Evaluation of the Removal of Fluoride from Drinking Water Using Mendon Bauxite Mine: Case Study on Kuhbonan Water, Kerman, Iran

Mohammad Malakootian<sup>1</sup>, Marzieh Javdan<sup>2</sup>, Farnaz Iranmanesh<sup>3</sup>

### Original Article

#### Abstract

**Background:** As fluoride concentration in drinking water is one of the effective parameters in human health, finding the ways to remove excess amount of fluoride is very important in water supply projects. This study aimed to evaluate Mendon bauxite mine in the removal of fluoride from drinking water.

**Methods:** This experimental study was conducted from May to October 2013 on synthetic and actual water samples obtained from drinking water of Kuhbonan in Kerman, Iran. Bauxite was obtained from the Mendon bauxite mine in Kohgiluyeh and Boyer-Ahmad province. Characterization of bauxite was studied via X-ray diffraction (XRD) method; X-ray fluorescence (XRF) was used to clear the mechanism of adsorption. Batch experiments were carried out to determine the effect of contact time, pH, adsorbent dose, and initial fluoride concentration parameters on the efficiency of defluoridation and to study the kinetics and adsorption isotherm. Analysis of fluoride was carried out via SPADNS method. To analyse the data, Excel software was used.

**Findings:** Maximum removal efficiency was observed at the pH of 7, contact time of 120 minutes, and absorbent amount of 20 g/l for the synthetic solution, with removal efficiency of 76.96% and for the actual solution, with the efficiency of 56.64%. Sorption data were best fitted with the Langmuir sorption isotherm equation ( $R^2 = 0.719$ ) and the second order synthetic model ( $R^2 = 0.989$ ).

**Conclusion:** Overall, the obtained results demonstrated that Mendon bauxite could be effectively used for fluoride removal from synthetic samples as well as actual water samples.

**Keywords:** Adsorption isotherm, Adsorption kinetic, Removal of Fluoride, Mendon bauxite mine

**Citation:** Malakootian M, Javdan M, Iranmanesh F. Performance Evaluation of the Removal of Fluoride from Drinking Water Using Mendon Bauxite Mine: Case Study on Kuhbonan Water, Kerman, Iran. J Health Syst Res 2016; 12(1): 14-20.

1- Professor, Environmental Health Engineering Research Center AND Department of Environmental Health, School of Public Health, Kerman University of Medical Sciences, Kerman, Iran

2- MSc Student, Environmental Health Engineering Research Center AND Department of Environmental Health, School of Public Health, Kerman University of Medical Sciences, Kerman, Iran

3- Environmental Health Engineering Research Center, Kerman University of Medical Sciences, Kerman, Iran

**Corresponding Author:** Mohammad Malakootian, Email: m.malakootian@yahoo.com